

# Tout ce que vous avez toujours voulu savoir sur le VA-NES (sans jamais oser le demander)

**P.-O. Mattei, CNRS-LMA**

## **Collègues**

S. Bellizzi, [B. Cochelin](#), [R. Côte](#), Ph. Herzog,  
S. Missoum, M. Pachebat, C. Pinhède, L. Sabatier, Ch. Vergez

## **Étudiant(e)s, Post-docs**

W. Allen, [R. Bellet](#), B. Bergeot, [I. Bouzid](#), P.-Y. Bryk,  
A. Chauvin, [V. Iurasov](#), E. Gourc, R. Mariani,  
M. Monteil, J. Shao, R. Ponçot

## **Industriels**

Saint-Gobain, Peugeot, SATT-SE,  
Boët-Stopson, DGA, Total-Energie

17 octobre 2024

**Fait** : Dans le domaine des basses fréquences, il existe peu de moyens de dissiper *passivement* les champs vibratoires..

**Fait** : Dans le domaine des basses fréquences, il existe peu de moyens de dissiper *passivement* les champs vibratoires..

**Besoin** : extraire *efficacement* l'énergie d'une structure vibrante/d'un champ acoustique.

**Fait** : Dans le domaine des basses fréquences, il existe peu de moyens de dissiper *passivement* les champs vibratoires..

**Besoin** : extraire *efficacement* l'énergie d'une structure vibrante/d'un champ acoustique.

Absorbeur vibroacoustique dynamique non linéaire passif (aka VA-NES)

**Fait** : Dans le domaine des basses fréquences, il existe peu de moyens de dissiper *passivement* les champs vibratoires..

**Besoin** : extraire *efficacement* l'énergie d'une structure vibrante/d'un champ acoustique.

## Absorbeur vibroacoustique dynamique non linéaire passif (aka VA-NES)

Principe sous-jacent : transfert irréversible d'énergie et localisation sur un mode non linéaire

## Un peu d'histoire

- ▶ principe proposé par Vakakis et Gendelman en 2001 pour les systèmes vibrants couplés à un absorbeur cubique sous le nom de transfert irréversible d'énergie

## Un peu d'histoire

- ▶ principe proposé par Vakakis et Gendelman en 2001 pour les systèmes vibrants couplés à un absorbeur cubique sous le nom de transfert irréversible d'énergie
- ▶ étendu à divers types de non linéarités : polynomiales impaires, non-linéarités non régulières, bi-stable et chaotiques (irréversibilité du transfert non assurée...) par Claude-Henri et Emmanuel en 2004

## Un peu d'histoire

- ▶ principe proposé par Vakakis et Gendelman en 2001 pour les systèmes vibrants couplés à un absorbeur cubique sous le nom de transfert irréversible d'énergie
- ▶ étendu à divers types de non linéarités : polynomiales impaires, non-linéarités non régulières, bi-stable et chaotiques (irréversibilité du transfert non assurée...) par Claude-Henri et Emmanuel en 2004
- ▶ adapté à l'Acoustique et à la Vibroacoustique par B. Cochelin, Ph. Herzog et votre serviteur en 2006

## Un peu d'histoire

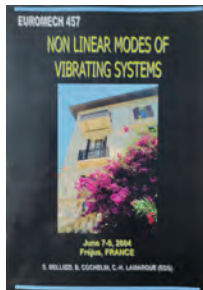
- ▶ principe proposé par Vakakis et Gendelman en 2001 pour les systèmes vibrants couplés à un absorbeur cubique sous le nom de transfert irréversible d'énergie
- ▶ étendu à divers types de non linéarités : polynomiales impaires, non-linéarités non régulières, bi-stable et chaotiques (irréversibilité du transfert non assurée...) par Claude-Henri et Emmanuel en 2004
- ▶ adapté à l'Acoustique et à la Vibroacoustique par B. Cochelin, Ph. Herzog et votre serviteur en 2006
- ▶ bien évidemment à cause de Claude-Henri !

## Un peu d'histoire

- ▶ principe proposé par Vakakis et Gendelman en 2001 pour les systèmes vibrants couplés à un absorbeur cubique sous le nom de transfert irréversible d'énergie
- ▶ étendu à divers types de non linéarités : polynomiales impaires, non-linéarités non régulières, bi-stable et chaotiques (irréversibilité du transfert non assurée...) par Claude-Henri et Emmanuel en 2004
- ▶ adapté à l'Acoustique et à la Vibroacoustique par B. Cochelin, Ph. Herzog et votre serviteur en 2006
- ▶ bien évidemment à cause de Claude-Henri !

En juin 2004, se tient à Fréjus le colloque Euromech 457 :

*Non linear modes of vibrating systems*, organisé par Claude-Henri Lamarque, Bruno Cochelin et Sergio Bellizzi au cours duquel Alexander Vakakis parle de "Nonlinear Normal Modes and Energy Pumping" ...



## Un peu d'histoire

Une vingtaine d'articles de Claude-Henri sur le sujet

Une simple recherche (NES) sur Google Scholar donne (nombres à utiliser avec prudence)

- ▶ 2000 ⇒ 2002 : 22 articles
- ▶ 2002 ⇒ 2010 : 2632 articles
- ▶ 2010 ⇒ 2020 : 2070 articles
- ▶ 2020 ⇒ 2024 : 3250 articles

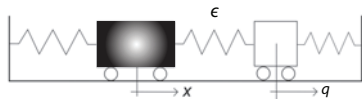
152 articles de revue (en 2024)

Un sujet de recherche actif et qui commence à irriguer l'industrie : Tacita Dynamics.

Au LMA, nous avons 4 (ou 5) brevets CNRS/Industrie

## Une expérience numérique introductive

## Deux oscillateurs linéaires, non amortis et faiblement couplés



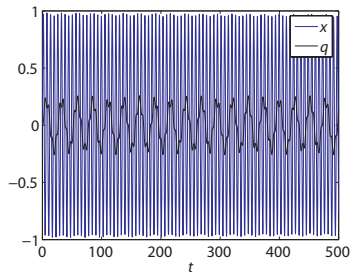
$$\ddot{x} + \omega_1^2 x + \epsilon(x - q) = 0$$

$$\ddot{q} + \omega_2^2 q + \epsilon(q - x) = 0$$

avec  $\epsilon = 0.05$  ,  $\omega_1 = 1$  ,  $\omega_2 = 0.1$

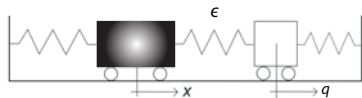
conditions initiales

$$\dot{x}(0) = 1, \dot{q}(0) = 0, x(0) = q(0) = 0$$



⇒ Pas d'échange d'énergie

## Deux oscillateurs linéaires accordés, non amortis et faiblement couplés



$$\ddot{x} + \omega_1^2 x + \epsilon(x - q) = 0$$

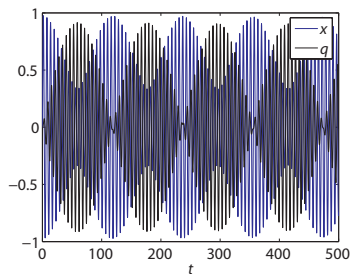
$$\ddot{q} + \omega_2^2 q + \epsilon(q - x) = 0$$

avec  $\epsilon = 0.05$  ,  $\omega_1 = 1$  ,  $\omega_2 = 0.98$

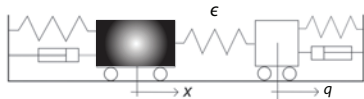
conditions initiales

$$\dot{x}(0) = 1, \dot{q}(0) = 0, x(0) = q(0) = 0$$

⇒ **Fort échange d'énergie par battements linéaires ; dans les deux directions**



## Deux oscillateurs linéaires accordés, amortis et faiblement couplés

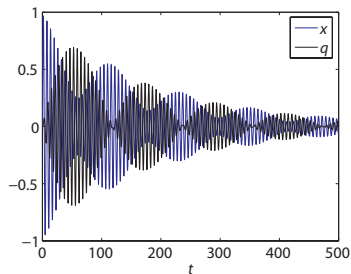


$$\ddot{x} + \lambda_1 \dot{x} + \omega_1^2 x + \epsilon(x - q) = 0$$
$$\ddot{q} + \lambda_2 \dot{q} + \omega_2^2 q + \epsilon(q - x) = 0$$

avec  $\epsilon = 0.05$ ,  $\omega_1 = 1$ ,  $\omega_2 = 0.98$   
 $\lambda_1 = 0.01$ ,  $\lambda_2 = 0.01$

conditions initiales

$$\dot{x}(0) = 1, \dot{q}(0) = 0, x(0) = q(0) = 0$$



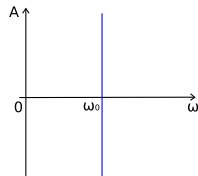
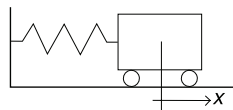
⇒ **Échanges d'énergie importants par battements linéaires amortis ; dans les deux directions**

## Une expérience numérique introductive

- ▶ Une résonance est nécessaire pour assurer un échange d'énergie. Mais comment empêcher son retour ?
  - ⇒ En cassant la résonance.

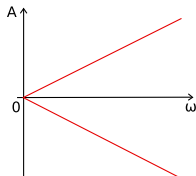
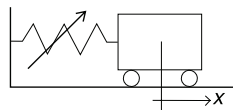
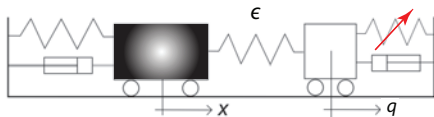
## Une expérience numérique introductive

- ▶ Une résonance est nécessaire pour assurer un échange d'énergie. Mais comment empêcher son retour ?  
⇒ En cassant la résonance.
- ▶ Dans le cas linéaire, la fréquence ne dépend pas de l'amplitude et l'amortissement n'aide pas.



# Une expérience numérique introductive

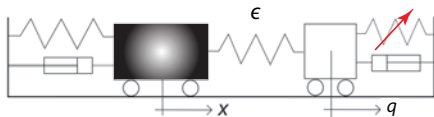
- ▶ Une résonance est nécessaire pour assurer un échange d'énergie. Mais comment empêcher son retour ?  
⇒ En cassant la résonance.
- ▶ Dans le cas linéaire, la fréquence ne dépend pas de l'amplitude et l'amortissement n'aide pas.
- ▶ L'idée est donc d'utiliser une forte nonlinéarité :



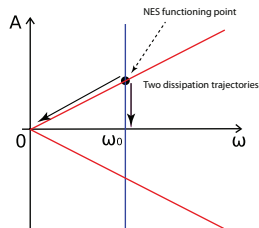
# Une expérience numérique introductive

- ▶ Une résonance est nécessaire pour assurer un échange d'énergie. Mais comment empêcher son retour ?  
⇒ En cassant la résonance.

- ▶ Dans le cas linéaire, la fréquence ne dépend pas de l'amplitude et l'amortissement n'aide pas.
- ▶ L'idée est donc d'utiliser une forte nonlinéarité :



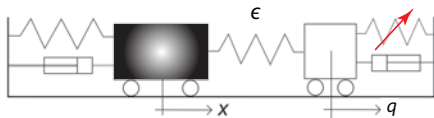
- ▶ A partir d'une certaine énergie, il peut y avoir une résonance et un transfert d'énergie.



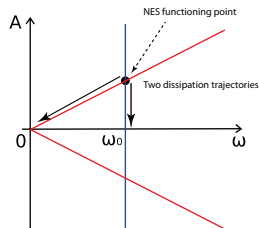
# Une expérience numérique introductive

- ▶ Une résonance est nécessaire pour assurer un échange d'énergie. Mais comment empêcher son retour ?  
⇒ En cassant la résonance.

- ▶ Dans le cas linéaire, la fréquence ne dépend pas de l'amplitude et l'amortissement n'aide pas.
- ▶ L'idée est donc d'utiliser une forte nonlinéarité :

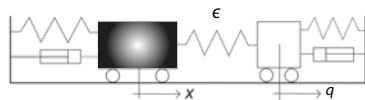


- ▶ A partir d'une certaine énergie, il peut y avoir une résonance et un transfert d'énergie.
- ▶ Grâce à l'amortissement, l'amplitude baisse donc la fréquence aussi et la résonance est cassée : pas de retour de l'énergie.



# Le système linéaire initial

## Deux oscillateurs linéaires accordés et amortis faiblement couplés



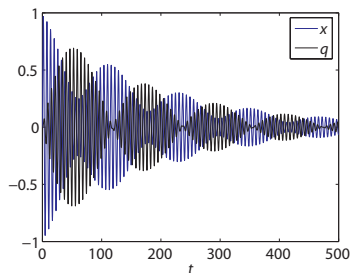
$$\begin{aligned}\ddot{x} + \lambda_1 \dot{x} + \omega_1^2 x + \epsilon(x - q) &= 0 \\ \ddot{q} + \lambda_2 \dot{q} + \omega_2^2 q + \epsilon(q - x) &= 0\end{aligned}$$

avec  $\epsilon = 0.05$ ,  $\omega_1 = 1$ ,  $\omega_2 = 0.98$   
 $\lambda_1 = 0.01$ ,  $\lambda_2 = 0.01$

conditions initiales

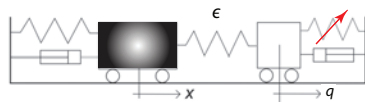
$$\dot{x}(0) = 1, \quad \dot{q}(0) = 0, \quad x(0) = q(0) = 0$$

⇒ **Échanges d'énergie importants par battements linéaires amortis ; dans les deux directions**



# Le système non linéaire développé

Oscillateur linéaire faiblement couplé à un oscillateur de rigidité **cubique**.

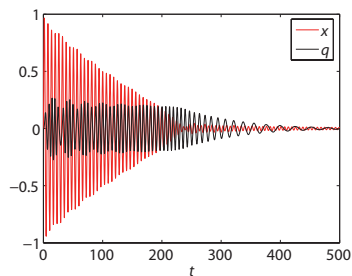


$$\begin{aligned}\ddot{x} + \lambda_1 \dot{x} + \omega_1^2 x + \varepsilon(x - q) &= 0 \\ \ddot{y} + \lambda_2 \dot{q} + \alpha q^3 + \varepsilon(q - x) &= 0\end{aligned}$$

avec  $\varepsilon = 0.05$ ,  $\omega_1 = 1$ ,  $\alpha = 36$   
 $\lambda_1 = 0.01$ ,  $\lambda_2 = 0.03$

conditions initiales

$$\dot{x}(0) = 1, \quad \dot{q}(0) = 0, \quad x(0) = q(0) = 0$$



⇒ **Un transfert d'énergie unidirectionnel très efficace**

# Organisation de la présentation

1. Pompage énergétique en acoustique
  - ▶ Couplage entre un milieu acoustique et une membrane
  - ▶ Pompage d'énergie : principales observations expérimentales
  - ▶ Étude paramétrique
  - ▶ Plusieurs membranes en parallèle
  - ▶ Un peu d'analytique
2. La multi-stabilité : une voie vers des NESs plus efficaces
  - ▶ Membrane bi-stable
  - ▶ Et l'amortissement dans tout cela ?
3. Comportements non usuels de membranes en grande déformation
  - ▶ Plusieurs backbones curves ?
  - ▶ Qui veut du streaming ?
4. Quelques commentaires en forme de conclusion

## Le pompage énergétique en acoustique

## Couplage entre un milieu acoustique et une membrane

# Une membrane en tant qu'oscillateur non linéaire à rigidité cubique

Dans un gaz, il est difficile de réaliser une non-linéarité impaire...

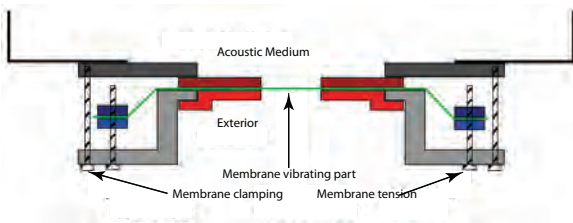
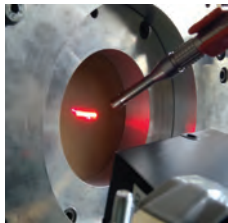
Utiliser un oscillateur mécanique soumis à un mouvement transversal de grande amplitude : une membrane souple (par exemple en latex) peut se décrire comme un oscillateur avec une rigidité cubique.

# Une membrane en tant qu'oscillateur non linéaire à rigidité cubique

Dans un gaz, il est difficile de réaliser une non-linéarité impaire...

Utiliser un oscillateur mécanique soumis à un mouvement transversal de grande amplitude : une membrane souple (par exemple en latex) peut se décrire comme un oscillateur avec une rigidité cubique.

## Réalisation



# Une membrane en tant qu'oscillateur non linéaire à rigidité cubique

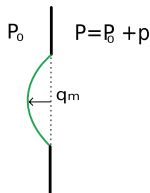
## Modèle à 1ddl pour la membrane

Pour une membrane soumise à un déplacement axisymétrique parabolique

$$q(r, \theta, t) = (1 - (r/R)^2) q_m(t)$$

Une réduction de Ritz donne une équation de Duffing NL

$$m_m \ddot{q}_m(t) + k_1 (x + \eta \dot{q}_m(t)) + k_3 (q_m^3(t) + 2\eta q_m^2 \dot{q}_m) = p(t)$$



- ▶  $m_m$ : masse dynamique
- ▶  $p(t)$ : forçage
- ▶  $k_1, k_3$ : raideurs dynamiques linéaires et cubiques
- ▶  $k_1 \eta, k_3 \eta$ : amortissements visqueux linéaire et non-linéaire

# Une membrane en tant qu'oscillateur non linéaire à rigidité cubique

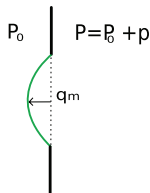
## Modèle à 1ddl pour la membrane

Pour une membrane soumise à un déplacement axisymétrique parabolique

$$q(r, \theta, t) = (1 - (r/R)^2) q_m(t)$$

Une réduction de Ritz donne une équation de Duffing NL

$$m_m \ddot{q}_m(t) + k_1 (x + \eta \dot{q}_m(t)) + k_3 (q_m^3(t) + 2\eta q_m^2 \dot{q}_m) = p(t)$$

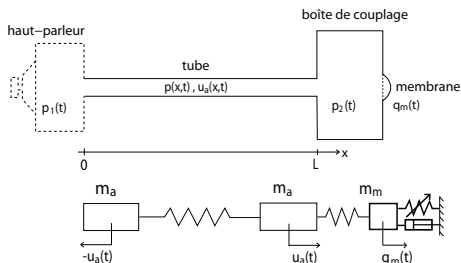


- ▶  $m_m$ : masse dynamique
- ▶  $p(t)$ : forçage
- ▶  $k_1, k_3$ : raideurs dynamiques linéaires et cubiques
- ▶  $k_1 \eta, k_3 \eta$ : amortissements visqueux linéaire et non-linéaire

D'autres choix de déformée sont possibles (eg  $J_0(\kappa_0 r/R)$ )...

# Couplage entre un milieu acoustique et une membrane

## Application du pompage d'énergie à l'acoustique

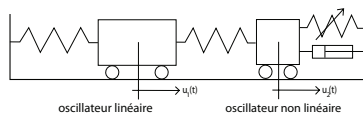


- ▶ Système à contrôler : pression acoustique à l'intérieur d'un tuyau (mode fondamental)
- ▶ NES : fine membrane circulaire viscoélastique
- ▶ Faible rigidité de couplage : volume d'air à l'intérieur de la boîte de couplage



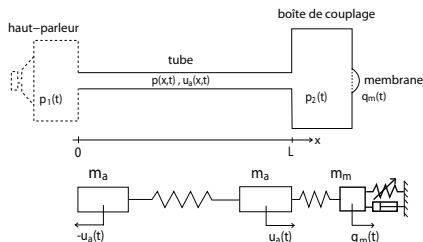
# Modèle à 2-ddl

## Système mécanique classique



$$\begin{aligned}\ddot{u}_1 + \lambda \dot{u}_1 + u_1 + \beta(u_1 - u_2) &= 0 \\ \gamma \ddot{u}_2 + c_\eta \dot{u}_2 \\ + k_3 u_2^3 + \beta(u_2 - u_1) &= 0\end{aligned}$$

## dispositif acoustique



$$\begin{aligned}\ddot{u}_a + \lambda \dot{u}_a + u_a + \beta(u_a - q_m) &= 0 \\ \gamma \ddot{q}_m + k_1 \eta \dot{q}_m + k_1 q_m \\ + k_3 q_m^3 + 2k_3 \eta q_m^2 \dot{q}_m + \beta(q_m - u_a) &= 0\end{aligned}$$

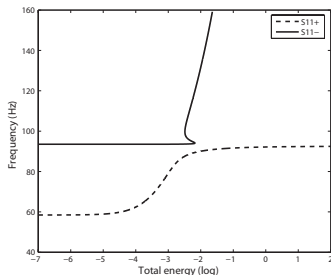
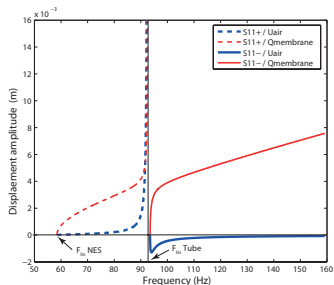
Modèles similaires à deux différences près :

- ▶ la rigidité linéaire due à la tension de la membrane
- ▶ terme d'amortissement non linéaire

## Modèle à 2-ddl

Les deux premiers modes non linéaires  $S11\pm$  sont obtenus par équilibrage harmonique du modèle 2-ddl sans amortissement à une composante  $u_a(t) = U(\omega) \cos \omega t$ ,  $q_m(t) = Q(\omega) \cos \omega t$  :

- ▶  $S11+$  : l'air et la membrane vibrent en phase à la même fréquence
- ▶  $S11-$  : l'air et la membrane vibrent en opposition de phase à la même fréquence



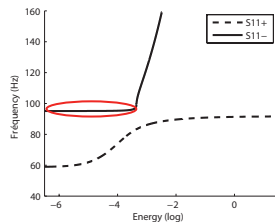
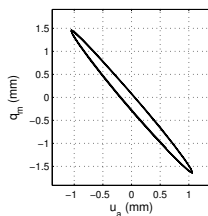
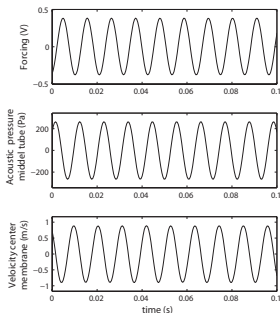
## Pompage d'énergie : principales observations expérimentales

# Oscillations forcées - résultats expérimentaux

configuration :  $h = 0,18$  mm,  $R = 3$  cm,  $f_1 = 61$  Hz

## Faible forçage ( $\mathcal{A} = 0.4$ V)

- ▶ Régime périodique
- ▶ Oscillateurs déphasés
- ▶ Trajectoire localisée sur le mode non linéaire  $S11-$ .

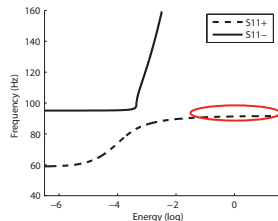
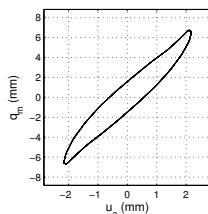
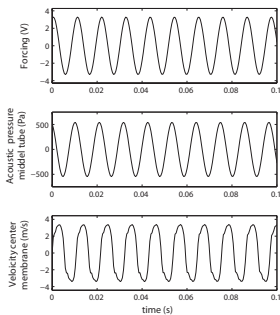


# Oscillations forcées - résultats expérimentaux

configuration :  $h = 0,18$  mm,  $R = 3$  cm,  $f_1 = 61$  Hz

## Forçage de grande amplitude ( $\mathcal{A} = 3.4$ V)

- ▶ Régime périodique
- ▶ Oscillateurs en phase
- ▶ Trajectoire localisée sur le mode non linéaire S11+.

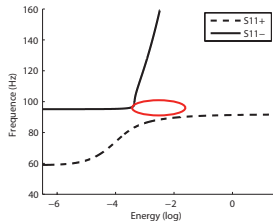
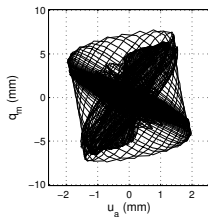
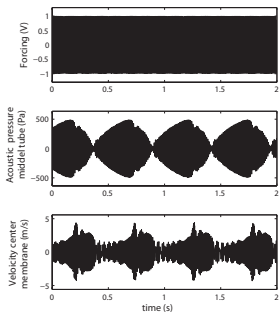


# Oscillations forcées - résultats expérimentaux

configuration :  $h = 0,18$  mm,  $R = 3$  cm,  $f_1 = 61$  Hz

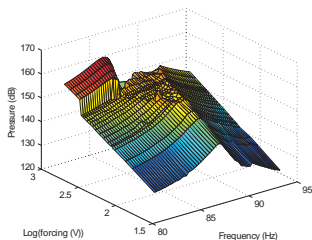
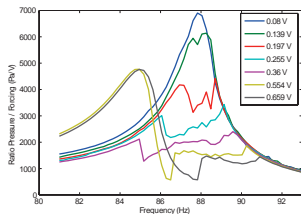
## Forçage intermédiaire ( $\mathcal{A} = 1$ V)

- ▶ Régime quasi-périodique ou régime fortement modulé (Strongly Modulated Response/SMR)
- ▶ Situations alternées d'oscillateurs en phase et en opposition de phase
- ▶ Correspond à la zone "vide" entre les deux modes non linéaires.

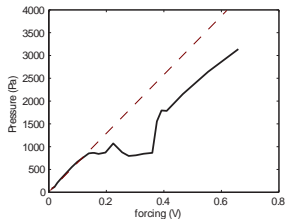


# Réponses en fréquence - résultats expérimentaux

configuration :  $h = 0,18 \text{ mm}$ ,  $R = 4 \text{ cm}$ ,  $f_1 = 45 \text{ Hz}$



- ▶ "Plateau" dans la courbe de crête où seuls des SMR existent.
- ▶ Le SMR gouverne/indique le pompage énergétique
- ▶ Pompage énergétique : limitation du niveau de pression acoustique

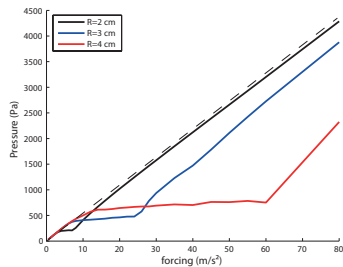


## Étude paramétrique

# Étude paramétrique

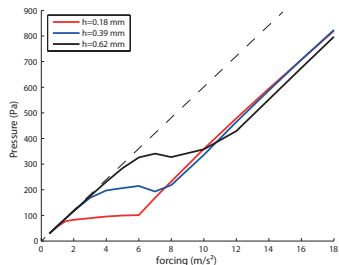
## Possibilité de régler la membrane

Rayon variable de la membrane :



$h = 0,39 \text{ mm}$ ,  $f_1 = 30 \text{ Hz}$ ,  $R = 2/3/4 \text{ cm}$

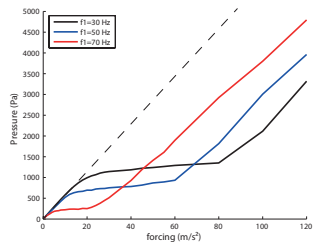
Épaisseur variable de la membrane :



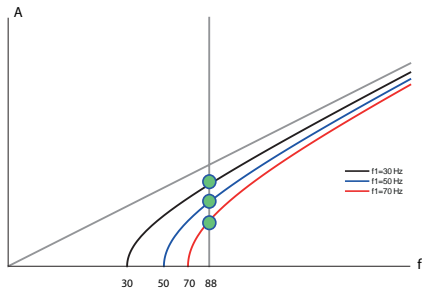
$R = 2 \text{ cm}$ ,  $f_1 = 30 \text{ Hz}$ ,  $h = 0,18/0,39/0,62 \text{ mm}$

# Étude paramétrique

Tension variable de la membrane :



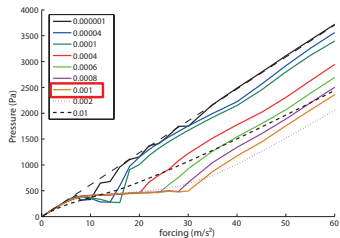
$R = 4 \text{ cm}$ ,  $h = 0,62 \text{ mm}$ ,  $f_1 = 30/50/70 \text{ Hz}$



La tension de la membrane règle le seuil d'activation

# Étude paramétrique

Amortissement variable de la membrane (calculé) :

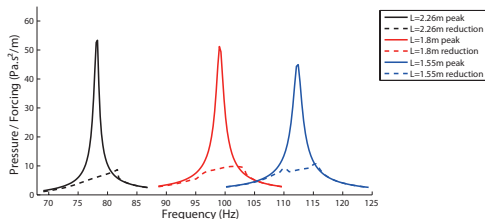
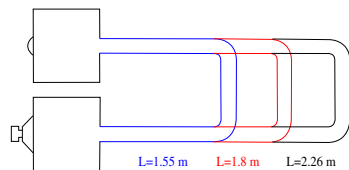


$R = 3 \text{ cm}$ ,  $h = 0,62 \text{ mm}$ ,  $f_1 = 30 \text{ Hz}$ ,  $\eta = 0,000001/\dots/0,01 \text{ s}^{-1}$

# Étude paramétrique

Le NES fonctionne sur une large gamme de fréquences

Longueur de tube variable (changement de mode de fréquence) :



$$R = 4 \text{ cm}, h = 0,18 \text{ mm}, f_1 = 30 \text{ Hz}$$

## Plusieurs membranes en parallèle

# Plusieurs membranes en parallèle

Membranes identiques ou différentes ?

## 4 membranes

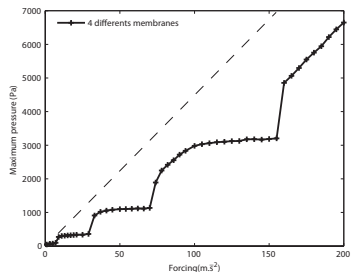
M 1 :  $R = 2,0 \text{ cm}$ ,  $h = 0,20 \text{ mm}$ ,  $f_1 = 50 \text{ Hz}$

M 2 :  $R = 3,0 \text{ cm}$ ,  $h = 0,30 \text{ mm}$ ,  $f_1 = 40 \text{ Hz}$

M 3 :  $R = 4,0 \text{ cm}$ ,  $h = 0,40 \text{ mm}$ ,  $f_1 = 30 \text{ Hz}$

M 4 :  $R = 5,0 \text{ cm}$ ,  $h = 0,50 \text{ mm}$ ,  $f_1 = 20 \text{ Hz}$

Courbes de crête simulées :



Un plateau pour chaque membrane

# Plusieurs membranes en parallèle

Membranes identiques ou différentes ?

## 4 membranes

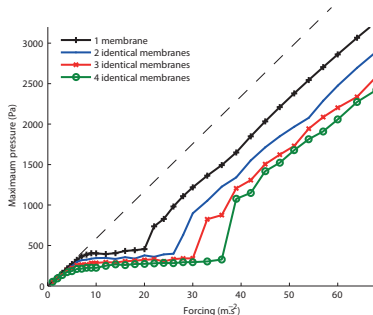
M 1 :  $R = 3,0$  cm,  $h = 0,30$  mm,  $f_1 = 40$  Hz

M 2 :  $R = 3,1$  cm,  $h = 0,31$  mm,  $f_1 = 40$  Hz

M 3 :  $R = 3,2$  cm,  $h = 0,32$  mm,  $f_1 = 40$  Hz

M 4 :  $R = 3,3$  cm,  $h = 0,33$  mm,  $f_1 = 40$  Hz

Courbes de crête simulées :



Plus il y a de membranes, plus le plateau est large.

Confirmé expérimentalement avec 2 membranes

## Un peu d'analytique (en hommage à Claude-Henri)

# Un peu d'analytique (en hommage à Claude-Henri)

## Points fixes/Régime périodique

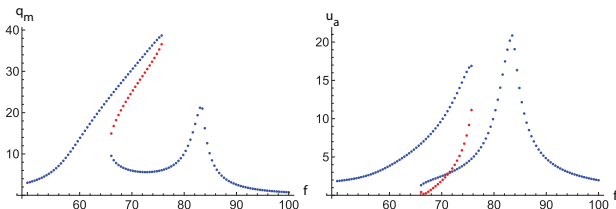
Pour notre système à 2-ddl, les points fixes sont obtenus par Cx-A de Manevitch ( $\phi_1 e^{i\tau\omega} = u'_a + iu_a\omega$ ,  $\phi_2 e^{i\tau\omega} = q'_m + iq_m\omega$ ) et sont tels que  $\dot{\phi}_i = \dot{\phi}_{i0} = 0$  :

$$\alpha_3 Z_{20}^3 + \alpha_2 Z_{20}^2 + \alpha_1 Z_{20} + \alpha_0 = 0, Z_{20} = |\phi_{20}|^2, \phi_{10} = C\phi_{20}$$

où les  $\alpha_i, i = 0 \dots 3$  sont réels et dépendent des paramètres du système tout comme  $C$ . Les points fixes sont les racines de ce polynôme (il en possède 1 ou 3). La stabilité de ces points fixes se fait par une analyse de perturbation linéaire et conduit à l'étude des racines d'un polynôme de degré 4 en  $x$  :

$$x^4 + \gamma_3 x^3 + \gamma_2 x^2 + \gamma_1 x + \gamma_0 = 0$$

où les  $\gamma_i, i = 0 \dots 3$  dépendent de  $Z_{20}$  et des paramètres du système. Si  $\Re(x_i) > 0$ , le point fixe est instable et  $\Re(x_i) < 0, \forall i$ , le point fixe est stable.



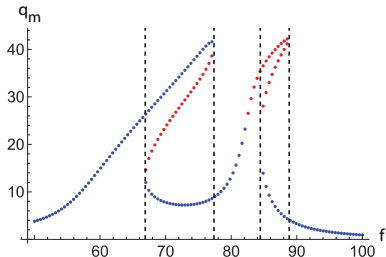
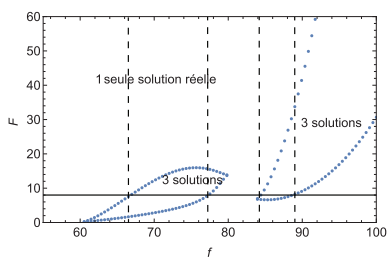
Exemple de points fixes du système. Bleu : stables. Rouge : instables.

# Un peu d'analytique (en hommage à Claude-Henri)

## Bifurcation de solutions périodiques : SN

Le passage de 1 à 3 points d'équilibre se caractérise par l'étude de la bifurcation Selle-Nœud (SN). Le nombre de solutions du polynôme dépend du signe de discriminant  $\Delta_{SN} = \alpha_1^2 \alpha_2^2 - 4\alpha_0 \alpha_2^3 - 4\alpha_1^3 \alpha_3 + 18\alpha_0 \alpha_1 \alpha_2 \alpha_3 - 27\alpha_0^2 \alpha_3^2$ .

- ▶ Si  $\Delta_{SN} < 0$  : 1 solution réelle
- ▶ Si  $\Delta_{SN} > 0$  : 3 solutions réelles.
- ▶  $\Delta_{SN} = 0$  caractérise la bifurcation SN



Gauche : Bifurcations SN dans le plan  $(f, F)$ . Droite :  $q_m(f)$  pour  $F = 8$ .

# Un peu d'analytique (en hommage à Claude-Henri)

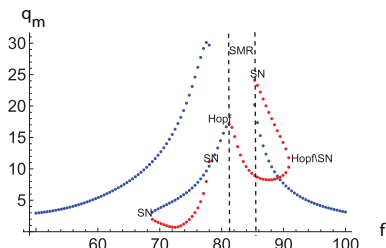
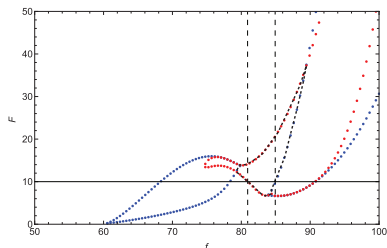
## Bifurcation de solutions périodiques : Hopf

La limite zones stables et instables est caractérisée par une bifurcation de Hopf. On repart du polynôme aux valeurs propres

$$x^4 + \gamma_3 x^3 + \gamma_2 x^2 + \gamma_1 x + \gamma_0 = 0$$

La limite stable/instable est fixée par les valeurs propres  $x = \pm iX$  imaginaires pures. On obtient la condition de la bifurcation de Hopf

$$\gamma_1^2 + \gamma_0 \gamma_3 - \gamma_1 \gamma_3 \gamma_2 = 0$$



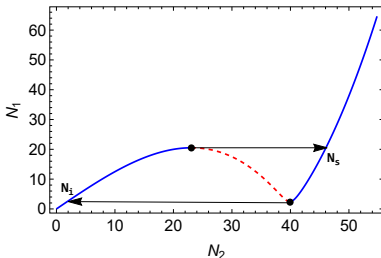
Gauche : Bifurcations d'Hopf (rouge) et SN (bleu) dans le plan  $(f, F)$ , En noir la zone à une seule solution périodique instable (SMR). Droite : Courbes de résonance du tube pour  $F \approx 10$ .

## Un peu d'analytique (en hommage à Claude-Henri)

### Régime fortement modulé/SMR

Le régime SMR caractérise le pompage. Il se caractérise par deux échelles de temps différentes (rapide/lent), la faible masse permet de définir un petit paramètre  $\varepsilon = \gamma/m_a$  et d'utiliser une méthode de perturbation en échelles multiples. À l'ordre zéro, on obtient la variété invariante lente (SIM) qui relie les amplitudes de l'absorbeur et du système primaire :

$$z_1 \beta^2 = z_2^3 \left( \frac{c_{\eta nl}^2}{16} + \frac{9k_{nl}^2}{16} \right) + z_2^2 \left( \frac{c_{\eta l} c_{\eta nl}}{2} + \frac{3}{2} k_{nl} (\beta + k_l - 1) \right) \\ + z_2 \left( c_{\eta l}^2 + (\beta_1 + k_l - 1)^2 \right), z_1 = N_1^2, z_2 = N_2^2$$



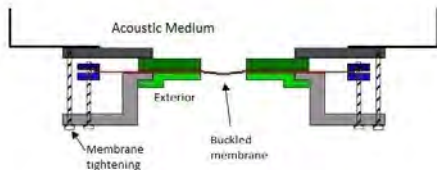
Exemple de SIM

L'étude du temps lent quantifie ces cycles de relaxation, en particulier l'apparition de singularités plis (ou fold) qui conditionnent l'existence du SMR/pompage énergétique.

## La multi-stabilité : une voie vers des NESs plus efficaces

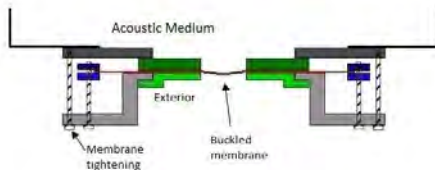
## La multi-stabilité : une voie vers des NESs plus efficaces

Et si, plutôt que de tendre la membrane, on l'autorise à flamber ?



## La multi-stabilité : une voie vers des NESs plus efficaces

Et si, plutôt que de tendre la membrane, on l'autorise à flamber ?



On repart du modèle initial :

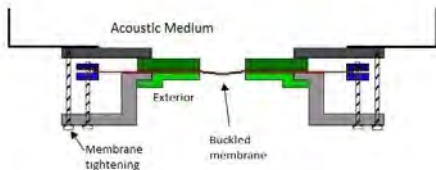
$$\ddot{u}_a + \lambda \dot{u}_a + u_a + \beta(u_a - q_m) = F \cos\left(\frac{\Omega}{\omega_t} \tau\right)$$

$$\gamma \ddot{q}_m + k_I q_m + k_{nl} q_m^3 + c_{\eta I} \dot{q}_m + c_{\eta nl} \dot{q}_m q_m^2 + \beta(q_m - u_a) = 0$$

La membrane possède une position d'équilibre instable  $q_e = 0$  et deux stables  $q_e = \pm \sqrt{(-\beta - k_I(\beta + 1))/(k_{nl}(\beta + 1))}$  si on impose  $k_I < -\beta/(\beta + 1)$ .

## La multi-stabilité : une voie vers des NESs plus efficaces

Et si, plutôt que de tendre la membrane, on l'autorise à flamber ?



On repart du modèle initial :

$$\ddot{u}_a + \lambda \dot{u}_a + u_a + \beta(u_a - q_m) = F \cos\left(\frac{\Omega}{\omega_t} \tau\right)$$

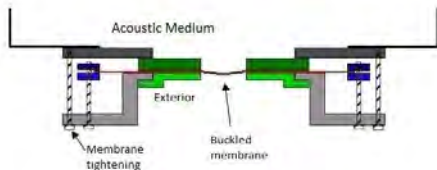
$$\gamma \ddot{q}_m + k_I q_m + k_{nl} q_m^3 + c_{\eta I} \dot{q}_m + c_{\eta nl} \dot{q}_m q_m^2 + \beta(q_m - u_a) = 0$$

La membrane possède une position d'équilibre instable  $q_e = 0$  et deux stables  $q_e = \pm \sqrt{(-\beta - k_I(\beta + 1)) / (k_{nl}(\beta + 1))}$  si on impose  $k_I < -\beta / (\beta + 1)$ .

Existe-t-il une gamme de bi-stabilité pour laquelle une membrane bistable est plus efficace qu'une membrane tendue pour contrôler le niveau sonore dans le milieu acoustique ?

# La multi-stabilité : une voie vers des NESs plus efficaces

Et si, plutôt que de tendre la membrane, on l'autorise à flamber ?



On repart du modèle initial :

$$\ddot{u}_a + \lambda \dot{u}_a + u_a + \beta(u_a - q_m) = F \cos\left(\frac{\Omega}{\omega_t} \tau\right)$$

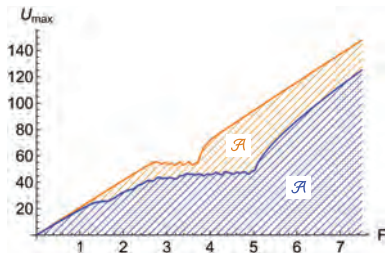
$$\gamma \ddot{q}_m + k_I q_m + k_{nl} q_m^3 + c_{\eta I} \dot{q}_m + c_{\eta nl} \dot{q}_m q_m^2 + \beta(q_m - u_a) = 0$$

La membrane possède une position d'équilibre instable  $q_e = 0$  et deux stables  $q_e = \pm \sqrt{(-\beta - k_I(\beta + 1)) / (k_{nl}(\beta + 1))}$  si on impose  $k_I < -\beta / (\beta + 1)$ .

Existe-t-il une gamme de bi-stabilité pour laquelle une membrane bistable est plus efficace qu'une membrane tendue pour contrôler le niveau sonore dans le milieu acoustique ?

Comment choisir le critère d'optimalité ?

## La multi-stabilité : une voie vers des NESs plus efficaces



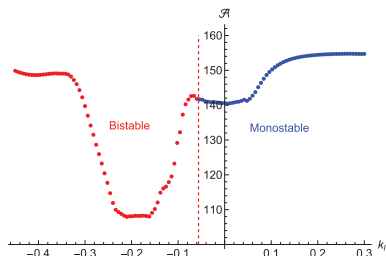
Exemple de lignes de crêtes pour deux valeurs de la raideur linéaire  $k_l$ .

$U_{max} = \max(|u_a(f)|)$  : déplacement de l'air en bout de tube.

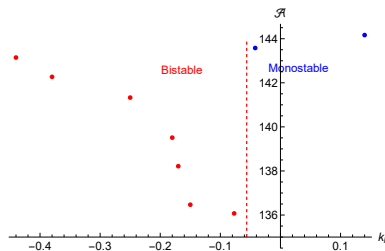
Pour une dynamique de forçage donnée, on minimise l'aire  $\mathcal{A}$  sous la ligne de crête...

# La multi-stabilité : une voie vers des NESs plus efficaces

## Calcul



## Mesure

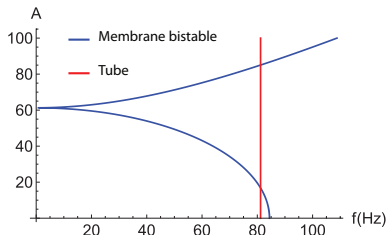
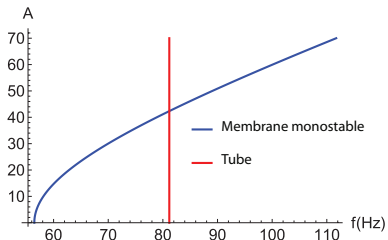


Variation de la fonctionnelle  $\mathcal{A}$  en fonction de la rigidité linéaire de la membrane ( $h_m = 0,22$  mm,  $R_m = 5$  cm).

# La multi-stabilité : une voie vers des NESs plus efficaces

Pourquoi une telle efficacité ?

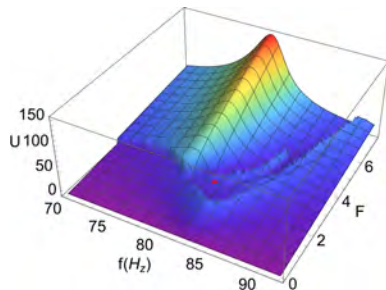
Superposition de la courbe caractéristique de la membrane monostable (a) et bistable (b) avec celle du tube lorsque la fréquence propre de la membrane est supérieure à celle du tube.



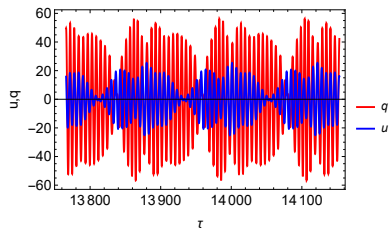
Courbes caractéristiques des membranes monostable et bistable avec celle du tube.

# La multi-stabilité : une voie vers des NESs plus efficaces

Comportement optimal dans la zone monostable ( $f_t = 83$  Hz,  $k_l = 0,024$ ,  $f_m = 54$  Hz)



(a) :  $U(f, F)$

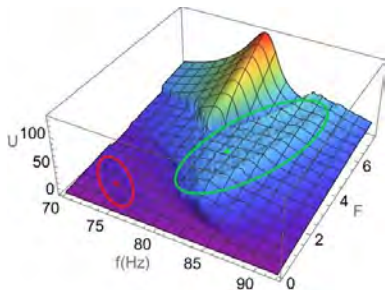


(b) : dynamique du système pour  $F = 2,34$   
et  $f = 81,9$  Hz

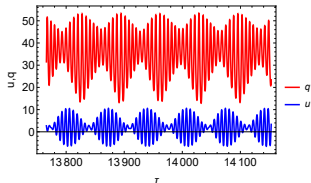
- ▶ (a) : réponse du système primaire en fonction de l'amplitude et de la fréquence de l'excitation
- ▶ (b) : réponse temporelle type SMR (point rouge)

# La multi-stabilité : une voie vers des NESs plus efficaces

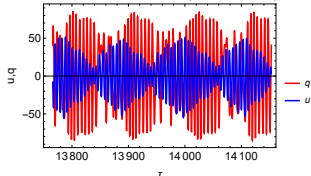
Comportement optimal dans la zone bistable ( $f_t = 83$  Hz,  $k_l = -0,156$ ,  $f_m = 91$  Hz)



(a) :  $U(f, F)$



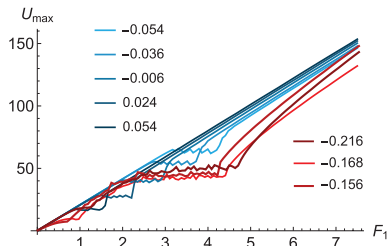
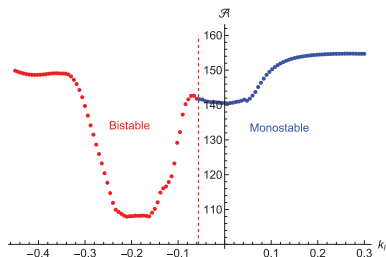
(b) : dynamique du système pour  $F = 0,97$  et  $f = 73,8$  Hz (intrapuit)



(c) : dynamique du système pour  $F = 3,38$  et  $f = 81,9$  Hz (interpuit)

- ▶ (a) : réponse du système primaire en fonction de l'amplitude et de la fréquence de l'excitation
- ▶ (b) : réponse type SMR du mouvement intrapuit (point rouge)
- ▶ (c) : réponse type SMR ou **C-SMR** du mouvement interpuit (point vert)

# La multi-stabilité : une voie vers des NESs plus efficaces



Superposition de courbes de crête de membranes appartenant aux plateaux minimum bistable (rouge) et minimum monostable (bleu).

- ▶ la réduction du niveau sonore est comparable pour toutes les membranes monostables comme bistables, seuls changent les niveaux d'activation et d'extinction.
- ▶ pour la membrane bistable, on note deux plateaux pour les lignes de crête à des niveaux différents.  
⇒ paramètre supplémentaire de réglage (aisé à prédire théoriquement : SIM)

## La multi-stabilité : une voie vers des NESs plus efficaces

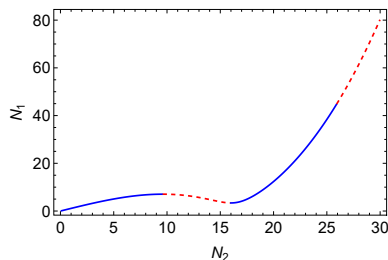
Variété invariante lente (SIM)

$$\begin{aligned}z_1 \beta^2 &= z_2^3 \left( \frac{c_{\eta nl}^2}{16} + \frac{9k_{nl}^2}{16} \right) + z_2^2 \left( \frac{c_{\eta l} c_{\eta nl}}{2} + \frac{3}{2} k_{nl} (\beta + k_l - 1) \right) \\ &+ z_2 \left( c_{\eta l}^2 + (\beta + k_l - 1)^2 \right) + z_2^2 q_0^2 \left( \frac{c_{\eta nl}^2}{2} + \frac{9k_{nl}^2}{2} \right) \\ &+ z_2 q_0^2 (2c_{\eta l} c_{\eta nl} + 6k_{nl} (\beta + k_l - 1)) + z_2 q_0^4 \left( c_{\eta nl}^2 + 9k_{nl}^2 \right) \\ q_0 &= \begin{cases} \pm \sqrt{-\frac{\beta + k_l (\beta \gamma + 1)}{k_{nl} (\beta \gamma + 1)} - \frac{3z_2}{2}} \\ 0 \end{cases}\end{aligned}$$

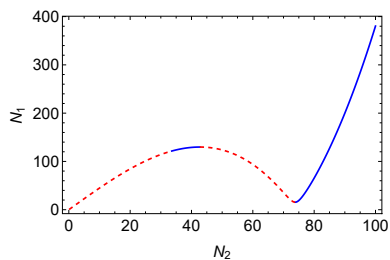
$q_0 = 0$  : solution intrapuit (monostable),  $q_0 \neq 0$  : solutions interpuits,

# La multi-stabilité : une voie vers des NESs plus efficaces

## SIM intrapuit



## SIM interpuits



SIMs des oscillations intrapuit et interpuits pour une membrane bistable ( $k_l = -0,168$ ).

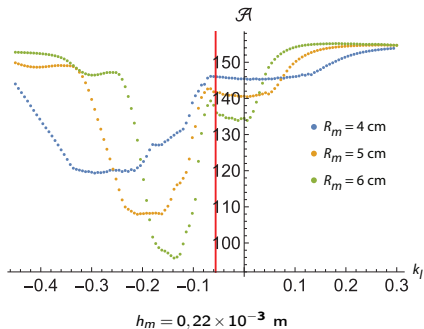
Les deux plateaux de pompages observés correspondent aux mouvements intrapuit et interpuits.

À ceci s'ajoutent des mouvements chaotiques qui dissipent efficacement l'énergie (mais sans irréversibilité du transfert d'énergie) non décrits par les SIMs.

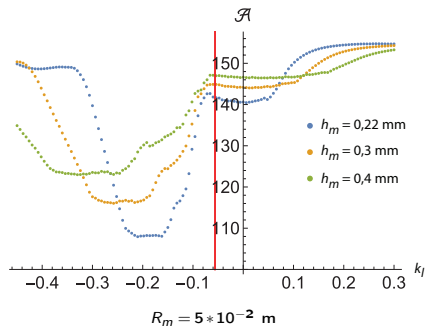
## Étude paramétrique

# Étude paramétrique

Rayon de la membrane :



Épaisseur de la membrane :



Bi-stabilité et monostabilité sont comparables : **efficacité vs latitude de réglage**

**Et l'amortissement dans tout cela ?**

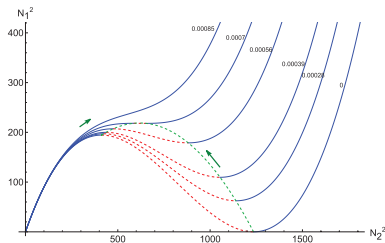
## Et l'amortissement dans tout cela ?

Le modèle simplifié de membrane a montré que l'amortissement doit être décrit par deux composantes, linéaire et non-linéaire, qui peuvent soit être traitées par un seul coefficient  $c_\eta$  :

$$\gamma \ddot{q}_m + k_l q_m + k_{nl} q_m^3 + c_\eta (1 + 2\dot{q}_m q_m^2) \dot{q}_m + c_{\eta nl} = F \cos(\omega_t \tau)$$

soit par deux coefficients distincts  $c_{\eta l}$  et  $c_{\eta nl}$  :

$$\gamma \ddot{q}_m + k_l q_m + k_{nl} q_m^3 + c_{\eta l} \dot{q}_m + c_{\eta nl} \dot{q}_m q_m^2 = F \cos(\omega_t \tau)$$



L'évolution de la courbe de la SIM en fonction de l'amortissement non linéaire. Bleu : stable. Rouge : instable. Vert : variation des extrema de la SIM

## Et l'amortissement dans tout cela ?

Les premières études menées avaient montré que si les coefficients du modèle simplifié pouvaient être aisément identifiés expérimentalement, **l'amortissement de la membrane ne pouvait pas être décrit par des coefficients indépendants de l'amplitude**

## Et l'amortissement dans tout cela ?

Les premières études menées avaient montré que si les coefficients du modèle simplifié pouvaient être aisément identifiées expérimentalement, **l'amortissement de la membrane ne pouvait pas être décrit par des coefficients indépendants de l'amplitude**

Construire un modèle simplifié mais à **paramètres variables**

## Et l'amortissement dans tout cela ?

Les premières études menées avaient montré que si les coefficients du modèle simplifié pouvaient être aisément identifiés expérimentalement, **l'amortissement de la membrane ne pouvait pas être décrit par des coefficients indépendants de l'amplitude**

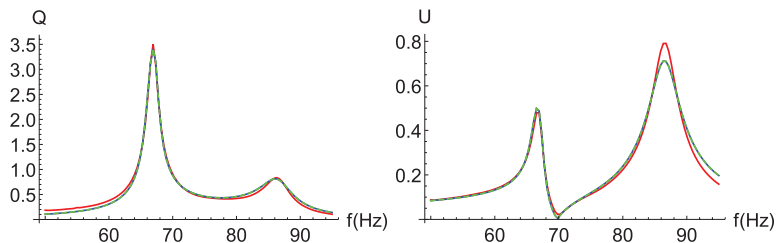
Construire un modèle simplifié mais à **paramètres variables**

En considérant l'amortissement décrit par un seul coefficient  $c_\eta$ , à partir des équations du système à 2 ddl (tube+NES) nous avons construit, par équilibrage harmonique (EH) à une seule harmonique, ou de manière équivalente par Complexification-Averaging (Cx-A)) une fonction algébrique :

$$\begin{aligned}Q^6 \alpha_3 + Q^4 \alpha_2 + Q^2 \alpha_1 &= \beta^2 F^2 \\Q^6 \beta_3 + Q^4 \beta_2 + Q^2 \beta_1 &= \beta^2 U^2\end{aligned}$$

où  $U$  et  $Q$  sont les amplitudes du déplacement de l'air aux extrémités du milieu acoustique et de la membrane. Les  $\alpha_i$  et  $\beta_i$  dépendent des paramètres à identifier (12 heures de calcul sur un serveur à 16 cœurs et 512 go de RAM).

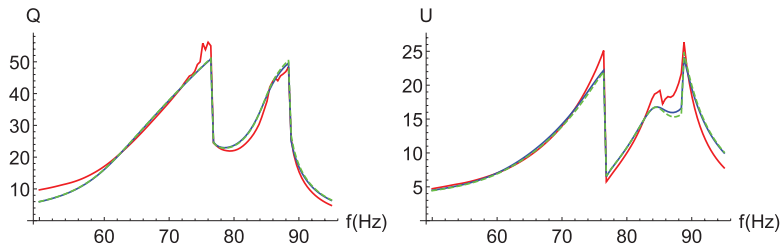
## Et l'amortissement dans tout cela ?



Résultats d'identification (excitation  $F = 0,01$  V).

Bleu : EH. Vert : Cx-A. Rouge : expériences.

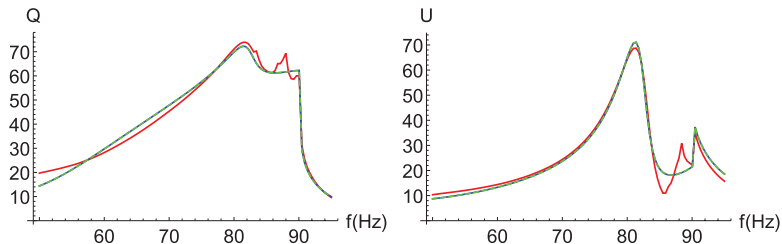
## Et l'amortissement dans tout cela ?



Résultats d'identification (excitation  $F = 0,52$  V).

Bleu : EH. Vert : Cx-A. Rouge : expériences.

## Et l'amortissement dans tout cela ?

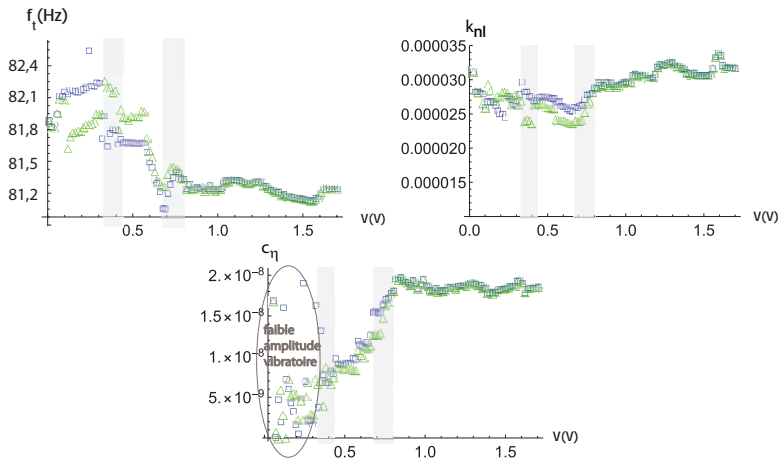


Résultats d'identification (excitation  $F = 1,12$  V).

Bleu : EH. Vert : Cx-A. Rouge : expériences.

# Et l'amortissement dans tout cela ?

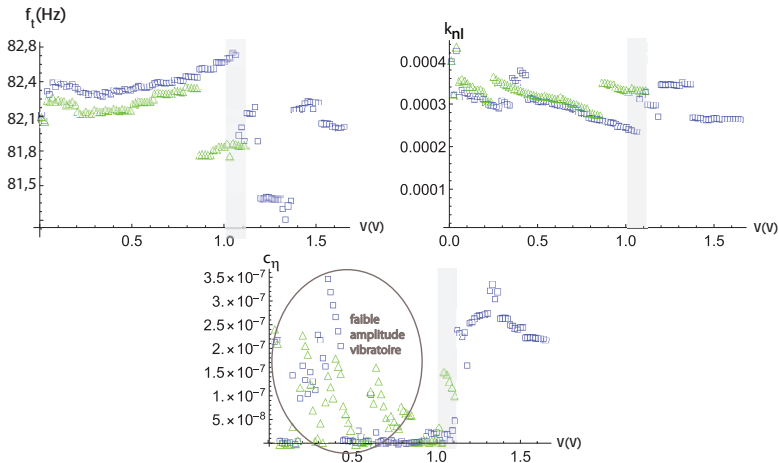
Amortissement augmente très fortement avec l'amplitude de la membrane



Résonance tube, amortissement et raideur NL identifiés (exp 1).  
Triangles : Cx-A, carrés : EH

## Et l'amortissement dans tout cela ?

Amortissement augmente très fortement avec l'amplitude de la membrane



Résonance tube, amortissement et raideur NL identifiés (exp 3).

Triangles : Cx-A, carrés : EH

**L'amortissement augmente très fortement avec l'amplitude vibratoire de la membrane. Et nous ne savons pas pourquoi...**

## Comportements non usuels de membranes en grande déformation

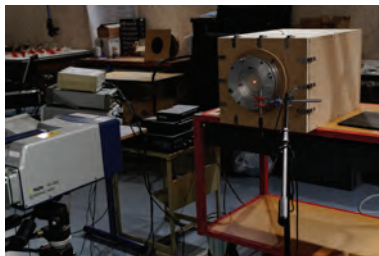
# Comportements non usuels de membranes en grande déformation

Origine physique du comportement de membranes en grande déformation ? À moins que ce ne soit un artefact lié au modèle à 1-ddl...

# Comportements non usuels de membranes en grande déformation

Origine physique du comportement de membranes en grande déformation ? À moins que ce ne soit un artefact lié au modèle à 1-ddl...

Mesures dédiées plus fines !



Expériences sur membranes isolées

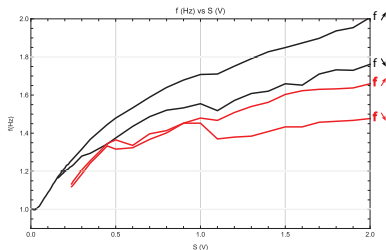
1/ Forçage en sinus pur, avec balayage en fréquence croissant ou décroissant, identification de la “backbone curve” pour mieux quantifier les non-linéarités (raideur et dissipation).

2/ Identification de la présence ou non d'un écoulement autour de la membrane en grande déformation pour mieux quantifier l'augmentation de l'amortissement observé en grande déformation.

Plusieurs backbones curves ?

## Plusieurs backbones curves ?

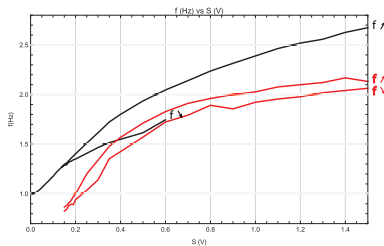
Mesurer la fréquence du maximum de réponse de la membrane à un forçage donné pour des fréquences croissantes et décroissantes



Backbones Curves. Membrane Latex,  $R = 8$  cm,  $h = 0,637$  mm.  
Noir : mode A. Rouge : mode B

## Plusieurs backbones curves ?

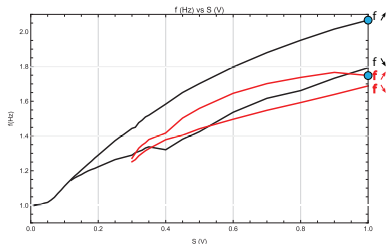
Mesurer la fréquence du maximum de réponse de la membrane à un forçage donné pour des fréquences croissantes et décroissantes



Backbones Curves. Membrane Latex,  $R = 8$  cm,  $h = 0,410$  mm.  
Noir : mode A. Rouge : mode B

## Plusieurs backbones curves ?

Mesurer la fréquence du maximum de réponse de la membrane à un forçage donné pour des fréquences croissantes et décroissantes



Backbones Curves. Membrane Latex,  $R = 8$  cm,  $h = 0,433$  mm.  
Noir : mode A. Rouge : mode B

La vitesse vibratoire présente clairement deux modes différents de vibration

## Plusieurs backbones curves ?

Mode A : membrane latex,  $R = 8$  cm,  $h = 0,433$  mm à 92 Hz ( $2,05 \times f_{lin}$ ) et 1V



Signal temporel au centre de la membrane.

$f_h$	92	184	276	368	460	644	736
L (dB)	13,5	8,2	1,1	-4,9	-21,4	-10,1	-13,5

Niveaux du fondamental et des divers harmoniques.

$f_1$  et  $f_2 = 2 \times f_1$  dominant.

## Plusieurs backbones curves ?

- ▶ Mode A,  $f_1 = 92$  Hz
- ▶ Mode A,  $f_2 = 184$  Hz
- ▶ Mode A,  $f_3 = 276$  Hz
- ▶ Mode A,  $f_4 = 368$  Hz
- ▶ Mode A,  $f_5 = 460$  Hz

## Plusieurs backbones curves ?

Mode B : membrane latex,  $R = 8$  cm,  $h = 0,433$  mm à 78 Hz ( $1,8 \times f_{lin}$ ) et 1V



Signal temporel au centre de la membrane.

$f_h$	78	156	234	312	390	468	546
L (dB)	10,6	-21,7	-1,7	-32,2	-11,9	-32,1	-17

Niveaux du fondamental et des divers harmoniques.

$f_1$  et  $f_3 = 3 \times f_1$  dominant.

## Plusieurs backbones curves ?

- ▶ Mode B,  $f_1 = 78$  Hz
- ▶ Mode B,  $f_2 = 156$  Hz
- ▶ Mode B,  $f_3 = 234$  Hz
- ▶ Mode B,  $f_4 = 312$  Hz
- ▶ Mode B,  $f_5 = 390$  Hz

## Plusieurs backbones curves ?

Quelques commentaires :

- ▶ L'essentiel du mouvement de la membrane est porté par le premier mode symétrique  $(1,0)$ , comment expliquer la bascule d'un mode à l'autre ?

# Plusieurs backbones curves ?

Quelques commentaires :

- ▶ L'essentiel du mouvement de la membrane est porté par le premier mode symétrique (1,0), comment expliquer la bascule d'un mode à l'autre ?
- ▶ Mode A
  - ▶ Piloté par des harmoniques symétriques
  - ▶ Fréquence du second mode symétrique  $f_{02} = 2,3 \times f_{10}$ . Résonance 1 : 2 ?
- ▶ Mode B
  - ▶ Piloté par des harmoniques non-symétriques (épaisseur variable)
  - ▶ Fréquence du second mode non-symétrique  $f_{2,1} = 2,14 \times f_{10}$ . Résonance 1 : 2 ?

## Plusieurs backbones curves ?

Quelques commentaires :

- ▶ L'essentiel du mouvement de la membrane est porté par le premier mode symétrique (1,0), comment expliquer la bascule d'un mode à l'autre ?
- ▶ Mode A
  - ▶ Piloté par des harmoniques symétriques
  - ▶ Fréquence du second mode symétrique  $f_{02} = 2,3 \times f_{10}$ . Résonance 1 : 2 ?
- ▶ Mode B
  - ▶ Piloté par des harmoniques non-symétriques (épaisseur variable)
  - ▶ Fréquence du second mode non-symétrique  $f_{2,1} = 2,14 \times f_{10}$ . Résonance 1 : 2 ?
- ▶ Pas de lien évident entre le pompage énergétique et ces modes vibratoires (pourtant certaines membranes "fonctionnent" mieux que d'autres)
- ▶ Pas de lien évident non plus avec l'amortissement (le rayonnement acoustique fortement dépendant de la déformée n'est pas considéré)

Qui veut du streaming ?

## Qui veut du streaming ?

Une observation expérimentale, littéralement “au doigt mouillé” semble montrer un écoulement au voisinage immédiat de la membrane lorsqu'elle vibre en grande déformation (ie  $\pm 2$  cm).

## Qui veut du streaming ?

Une observation expérimentale, littéralement “au doigt mouillé” semble montrer un écoulement au voisinage immédiat de la membrane lorsqu'elle vibre en grande déformation (ie  $\pm 2$  cm).

Si ceci est avéré, cela pourrait expliquer le supplément considérable d'amortissement observé lorsque la membrane vibre en grande amplitude (la membrane pèse 2 g)

## Qui veut du streaming ?

Une observation expérimentale, littéralement “au doigt mouillé” semble montrer un écoulement au voisinage immédiat de la membrane lorsqu'elle vibre en grande déformation (ie  $\pm 2$  cm).

Si ceci est avéré, cela pourrait expliquer le supplément considérable d'amortissement observé lorsque la membrane vibre en grande amplitude (la membrane pèse 2 g)

**2/ Mesure par PIV Rapide (Dantec Dynamics) de la présence ou non d'un tel écoulement**

## Qui veut du streaming ?

Une observation expérimentale, littéralement “au doigt mouillé” semble montrer un écoulement au voisinage immédiat de la membrane lorsqu'elle vibre en grande déformation (ie  $\pm 2$  cm).

Si ceci est avéré, cela pourrait expliquer le supplément considérable d'amortissement observé lorsque la membrane vibre en grande amplitude (la membrane pèse 2 g)

### **2/ Mesure par PIV Rapide (Dantec Dynamics) de la présence ou non d'un tel écoulement**

Premiers résultats (moins d'un mois...) sur une membrane en latex de 8 cm de diamètre et d'épaisseur 0,433 mm dans un plan perpendiculaire à la membrane.

## Qui veut du streaming ?



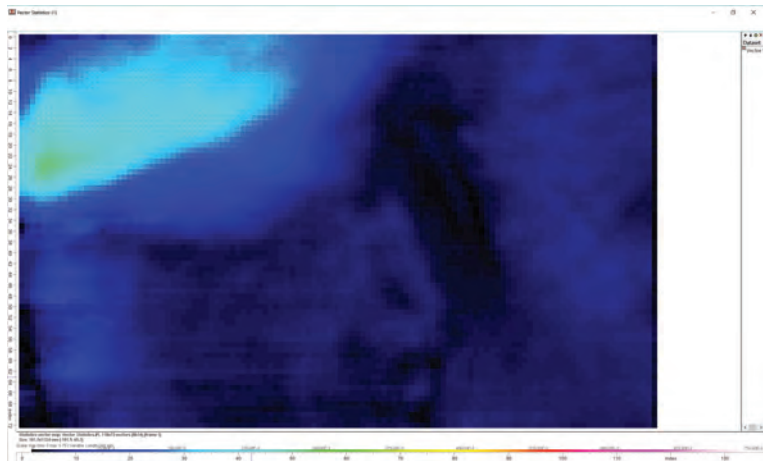
Dispositif de mesure par stéréo-PIV Rapide de la membrane seule.

Après ensemencement du milieu, on mesure 1000 paires d'images (séparées de  $1\mu s$ ) par seconde sur 1 seconde (le champ observé comporte 1 Mpix).

Cinq configurations

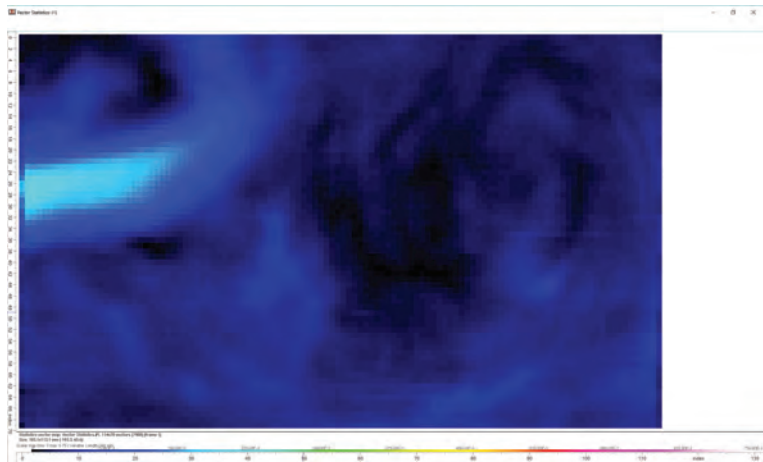
- ▶ forçage à 0,3 : mode A à 60 Hz ( $V = \pm 2,5$  m/s,  $U = \pm 6,7$  mm)
- ▶ forçage à 0,7V : mode B à 70 Hz ( $V = \pm 3,4$  m/s,  $U = \pm 8$  mm) et mode A à 80 Hz ( $V = \pm 6,6$  m/s,  $U = \pm 13$  mm)
- ▶ forçage à 1V : mode B à 75 Hz ( $V = \pm 5$  m/s,  $U = \pm 10$  mm) et mode A à 85 Hz ( $V = \pm 8$  m/s,  $U = \pm 15$  mm)

## Qui veut du streaming ?



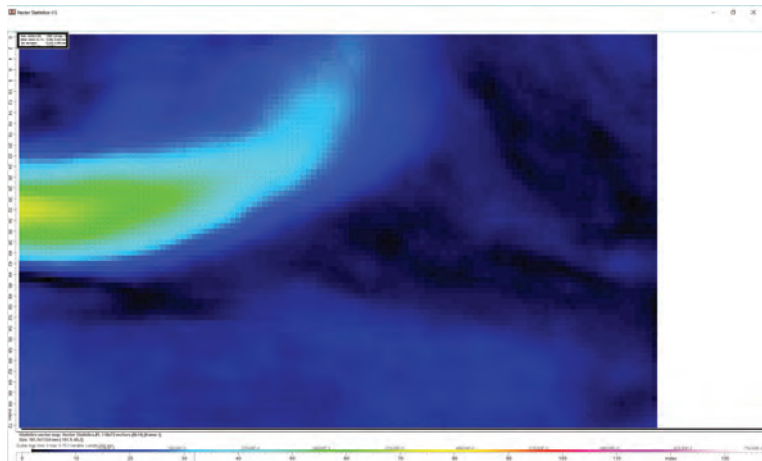
Forçage à 0,3V : mode A à 60 Hz ( $V = \pm 2,5$  m/s,  $U = \pm 6,7$  mm)

## Qui veut du streaming ?



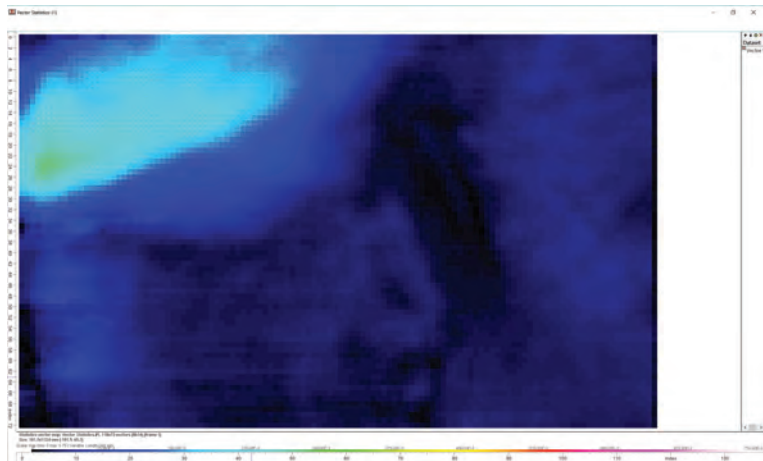
Forçage à 0,7V : mode B à 70 Hz ( $V = \pm 3,4$  m/s,  $U = \pm 8$  mm)

## Qui veut du streaming ?



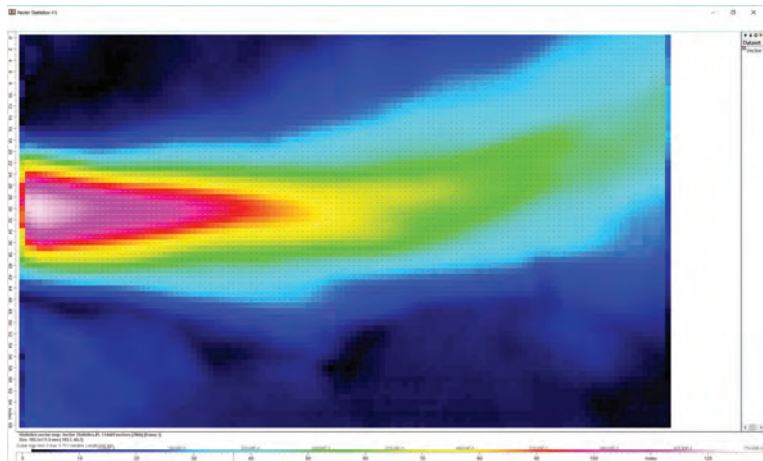
Forçage à 0,7V : mode A à 80 Hz ( $V = \pm 6,6$  m/s,  $U = \pm 13$  mm)

Qui veut du streaming ?



Forçage à 1V : mode B à 75 Hz ( $V = \pm 5$  m/s,  $U = \pm 10$  mm)

Qui veut du streaming ?



Forçage à 1V : mode A à 85 Hz ( $V = \pm 8$  m/s,  $U = \pm 15$  mm)

## Qui veut du streaming ?

- ▶ Animation du forçage à 0,3 V : **mode A à 30 Hz** ( $V = \pm 2,5$  m/s,  $U = \pm 6,7$  mm)
- ▶ Animation du forçage à 0,7 V : **mode B à 70 Hz** ( $V = \pm 3,4$  m/s,  $U = \pm 8$  mm)
- ▶ Animation du forçage à 0,7 V : **mode A à 80 Hz** ( $V = \pm 6,6$  m/s,  $U = \pm 13$  mm)
- ▶ Animation du forçage à 1 V : **mode B à 75 Hz** ( $V = \pm 5$  m/s,  $U = \pm 10$  mm)
- ▶ Animation du forçage à 1V : **mode A à 85 Hz** ( $V = \pm 8$  m/s,  $U = \pm 15$  mm)

# Qui veut du streaming ?

Quelques commentaires :

- ▶ À forte amplitude vibratoire, il y a une évidence d'écoulement (presque 1 m/s !)

# Qui veut du streaming ?

Quelques commentaires :

- ▶ À forte amplitude vibratoire, il y a une évidence d'écoulement (presque 1 m/s !)
- ▶ Mode A
  - ▶ jet axial : effet des modes symétriques et de l'asymétrie naturelle de la mécanique des fluides
- ▶ Mode B
  - ▶ jet, semble-t-il, plus latéral : effet des modes non-symétriques ?

# Qui veut du streaming ?

Quelques commentaires :

- ▶ À forte amplitude vibratoire, il y a une évidence d'écoulement (presque 1 m/s !)
- ▶ Mode A
  - ▶ jet axial : effet des modes symétriques et de l'asymétrie naturelle de la mécanique des fluides
- ▶ Mode B
  - ▶ jet, semble-t-il, plus latéral : effet des modes non-symétriques ?
- ▶ Pas encore de certitude que le mode A favorise cet écoulement. Mesures à affiner (une nouvelle campagne va débuter en Novembre)

Pour conclure

## Quelques commentaires en forme de conclusion

- ▶ Les NESs vibroacoustiques fonctionnent, à très (trop) fort niveau pour l'instant
- ▶ Nombreuses possibilités de réglages
- ▶ Les modèles simplifiés semblent montrer leurs limites tout en restant indispensables à la compréhension des phénomènes
- ▶ Encore et toujours des grosses difficultés avec l'amortissement
- ▶ Comportements non triviaux des membranes
- ▶ Toujours réaliser des expériences !

Merci Claude-Henri pour tes délicieuses idées

